

# Starkniederschlagshöhen und -spenden gemäß KOSTRA-DWD-2020

## Rasterfeld 163125

(Zeile 163, Spalte 125)

### Regenspende und Bemessungsniederschlagswerte in Abhängigkeit von Wiederkehrzeit T und Dauerstufe D

| Dauerstufe D |     | Wiederkehrzeit T |            |      |            |      |            |      |            |      |            |       |            |       |            |       |            |       |            |
|--------------|-----|------------------|------------|------|------------|------|------------|------|------------|------|------------|-------|------------|-------|------------|-------|------------|-------|------------|
|              |     | 1 a              |            | 2 a  |            | 3 a  |            | 5 a  |            | 10 a |            | 20 a  |            | 30 a  |            | 50 a  |            | 100 a |            |
| min          | Std | mm               | l / (s ha) | mm   | l / (s ha) | mm   | l / (s ha) | mm   | l / (s ha) | mm   | l / (s ha) | mm    | l / (s ha) | mm    | l / (s ha) | mm    | l / (s ha) | mm    | l / (s ha) |
| 5            |     | 7,4              | 246,7      | 9,2  | 306,7      | 10,2 | 340,0      | 11,6 | 386,7      | 13,6 | 453,3      | 15,7  | 523,3      | 17,1  | 570,0      | 18,8  | 626,7      | 21,4  | 713,3      |
| 10           |     | 9,6              | 160,0      | 11,8 | 196,7      | 13,2 | 220,0      | 15,0 | 250,0      | 17,6 | 293,3      | 20,2  | 336,7      | 22,0  | 366,7      | 24,3  | 405,0      | 27,5  | 458,3      |
| 15           |     | 10,9             | 121,1      | 13,4 | 148,9      | 14,9 | 165,6      | 17,0 | 188,9      | 19,9 | 221,1      | 22,9  | 254,4      | 24,9  | 276,7      | 27,5  | 305,6      | 31,2  | 346,7      |
| 20           |     | 11,8             | 98,3       | 14,5 | 120,8      | 16,2 | 135,0      | 18,4 | 153,3      | 21,6 | 180,0      | 24,9  | 207,5      | 27,1  | 225,8      | 29,9  | 249,2      | 33,9  | 282,5      |
| 30           |     | 13,2             | 73,3       | 16,2 | 90,0       | 18,1 | 100,6      | 20,5 | 113,9      | 24,1 | 133,9      | 27,8  | 154,4      | 30,2  | 167,8      | 33,3  | 185,0      | 37,8  | 210,0      |
| 45           |     | 14,6             | 54,1       | 17,9 | 66,3       | 20,0 | 74,1       | 22,8 | 84,4       | 26,7 | 98,9       | 30,8  | 114,1      | 33,4  | 123,7      | 36,9  | 136,7      | 41,9  | 155,2      |
| 60           | 1   | 15,6             | 43,3       | 19,2 | 53,3       | 21,5 | 59,7       | 24,4 | 67,8       | 28,6 | 79,4       | 33,0  | 91,7       | 35,8  | 99,4       | 39,6  | 110,0      | 44,9  | 124,7      |
| 90           | 1,5 | 17,2             | 31,9       | 21,2 | 39,3       | 23,6 | 43,7       | 26,8 | 49,6       | 31,5 | 58,3       | 36,3  | 67,2       | 39,4  | 73,0       | 43,5  | 80,6       | 49,4  | 91,5       |
| 120          | 2   | 18,4             | 25,6       | 22,6 | 31,4       | 25,2 | 35,0       | 28,7 | 39,9       | 33,7 | 46,8       | 38,8  | 53,9       | 42,1  | 58,5       | 46,5  | 64,6       | 52,8  | 73,3       |
| 180          | 3   | 20,2             | 18,7       | 24,8 | 23,0       | 27,7 | 25,6       | 31,5 | 29,2       | 36,9 | 34,2       | 42,5  | 39,4       | 46,2  | 42,8       | 51,0  | 47,2       | 57,9  | 53,6       |
| 240          | 4   | 21,5             | 14,9       | 26,5 | 18,4       | 29,5 | 20,5       | 33,6 | 23,3       | 39,4 | 27,4       | 45,4  | 31,5       | 49,3  | 34,2       | 54,5  | 37,8       | 61,8  | 42,9       |
| 360          | 6   | 23,5             | 10,9       | 29,0 | 13,4       | 32,3 | 15,0       | 36,8 | 17,0       | 43,1 | 20,0       | 49,7  | 23,0       | 54,0  | 25,0       | 59,6  | 27,6       | 67,7  | 31,3       |
| 540          | 9   | 25,8             | 8,0        | 31,7 | 9,8        | 35,4 | 10,9       | 40,2 | 12,4       | 47,2 | 14,6       | 54,4  | 16,8       | 59,1  | 18,2       | 65,2  | 20,1       | 74,1  | 22,9       |
| 720          | 12  | 27,5             | 6,4        | 33,8 | 7,8        | 37,7 | 8,7        | 42,9 | 9,9        | 50,3 | 11,6       | 57,9  | 13,4       | 63,0  | 14,6       | 69,5  | 16,1       | 78,9  | 18,3       |
| 1080         | 18  | 30,0             | 4,6        | 37,0 | 5,7        | 41,2 | 6,4        | 46,9 | 7,2        | 55,0 | 8,5        | 63,4  | 9,8        | 68,8  | 10,6       | 76,0  | 11,7       | 86,3  | 13,3       |
| 1440         | 24  | 32,0             | 3,7        | 39,4 | 4,6        | 43,9 | 5,1        | 49,9 | 5,8        | 58,6 | 6,8        | 67,5  | 7,8        | 73,3  | 8,5        | 81,0  | 9,4        | 92,0  | 10,6       |
| 2880         | 48  | 37,3             | 2,2        | 45,9 | 2,7        | 51,2 | 3,0        | 58,2 | 3,4        | 68,2 | 3,9        | 78,6  | 4,5        | 85,4  | 4,9        | 94,3  | 5,5        | 107,1 | 6,2        |
| 4320         | 72  | 40,7             | 1,6        | 50,1 | 1,9        | 55,9 | 2,2        | 63,6 | 2,5        | 74,6 | 2,9        | 85,9  | 3,3        | 93,4  | 3,6        | 103,1 | 4,0        | 117,1 | 4,5        |
| 5760         | 96  | 43,4             | 1,3        | 53,4 | 1,5        | 59,6 | 1,7        | 67,7 | 2,0        | 79,4 | 2,3        | 91,5  | 2,6        | 99,4  | 2,9        | 109,8 | 3,2        | 124,7 | 3,6        |
| 7200         | 120 | 45,6             | 1,1        | 56,1 | 1,3        | 62,6 | 1,4        | 71,1 | 1,6        | 83,4 | 1,9        | 96,1  | 2,2        | 104,4 | 2,4        | 115,3 | 2,7        | 130,9 | 3,0        |
| 8640         | 144 | 47,4             | 0,9        | 58,3 | 1,1        | 65,1 | 1,3        | 74,0 | 1,4        | 86,8 | 1,7        | 100,0 | 1,9        | 108,7 | 2,1        | 120,0 | 2,3        | 136,3 | 2,6        |
| 10080        | 168 | 49,0             | 0,8        | 60,4 | 1,0        | 67,4 | 1,1        | 76,6 | 1,3        | 89,8 | 1,5        | 103,5 | 1,7        | 112,4 | 1,9        | 124,2 | 2,1        | 141,0 | 2,3        |

# Starkniederschlagshöhen und -spenden gemäß KOSTRA-DWD-2020

## Rasterfeld 163125

(Zeile 163, Spalte 125)

### Örtliche Unsicherheiten in Abhängigkeit von Wiederkehrzeit T und Dauerstufe D

| Dauerstufe D |     | Wiederkehrzeit T |     |     |     |      |      |      |      |       |
|--------------|-----|------------------|-----|-----|-----|------|------|------|------|-------|
|              |     | 1 a              | 2 a | 3 a | 5 a | 10 a | 20 a | 30 a | 50 a | 100 a |
| min          | Std | ± %              | ± % | ± % | ± % | ± %  | ± %  | ± %  | ± %  | ± %   |
| 5            |     | 8                | 8   | 8   | 9   | 9    | 10   | 10   | 10   | 11    |
| 10           |     | 11               | 12  | 13  | 14  | 14   | 15   | 15   | 16   | 16    |
| 15           |     | 13               | 15  | 15  | 16  | 17   | 18   | 18   | 19   | 19    |
| 20           |     | 14               | 16  | 17  | 18  | 19   | 19   | 20   | 20   | 21    |
| 30           |     | 16               | 17  | 18  | 19  | 20   | 21   | 21   | 22   | 22    |
| 45           |     | 16               | 18  | 19  | 20  | 21   | 22   | 22   | 22   | 23    |
| 60           | 1   | 16               | 18  | 19  | 20  | 21   | 22   | 22   | 23   | 23    |
| 90           | 1,5 | 16               | 18  | 19  | 20  | 21   | 21   | 22   | 22   | 23    |
| 120          | 2   | 16               | 18  | 18  | 19  | 20   | 21   | 21   | 22   | 22    |
| 180          | 3   | 15               | 17  | 18  | 19  | 20   | 20   | 21   | 21   | 22    |
| 240          | 4   | 15               | 16  | 17  | 18  | 19   | 20   | 20   | 21   | 21    |
| 360          | 6   | 14               | 15  | 16  | 17  | 18   | 19   | 19   | 20   | 20    |
| 540          | 9   | 13               | 14  | 15  | 16  | 17   | 18   | 18   | 19   | 19    |
| 720          | 12  | 12               | 14  | 15  | 15  | 16   | 17   | 17   | 18   | 18    |
| 1080         | 18  | 12               | 13  | 14  | 15  | 15   | 16   | 17   | 17   | 17    |
| 1440         | 24  | 11               | 12  | 13  | 14  | 15   | 16   | 16   | 16   | 17    |
| 2880         | 48  | 10               | 11  | 12  | 13  | 14   | 14   | 15   | 15   | 15    |
| 4320         | 72  | 10               | 11  | 12  | 12  | 13   | 14   | 14   | 14   | 15    |
| 5760         | 96  | 10               | 11  | 11  | 12  | 13   | 13   | 14   | 14   | 14    |
| 7200         | 120 | 10               | 11  | 11  | 12  | 12   | 13   | 13   | 14   | 14    |
| 8640         | 144 | 11               | 11  | 11  | 12  | 12   | 13   | 13   | 13   | 14    |
| 10080        | 168 | 11               | 11  | 11  | 12  | 12   | 13   | 13   | 13   | 14    |

### Parameter für abweichende T und D

#### Lokationsparameter $\xi$ (Xi)

15,96899468

#### Skalenparameter $\alpha$ (Alpha)

5,11850812

#### Formparameter $\kappa$ (Kappa)

-0,1

#### 1. Koutsoyiannis-Parameter $\theta$ (Theta)

0,0269584

#### 2. Koutsoyiannis-Parameter $\eta$ (Eta)

0,78085482

Parameter für dauerstufenübergreifende Extremwertschätzung nach KOUTSOYIANNIS et al. 1998.

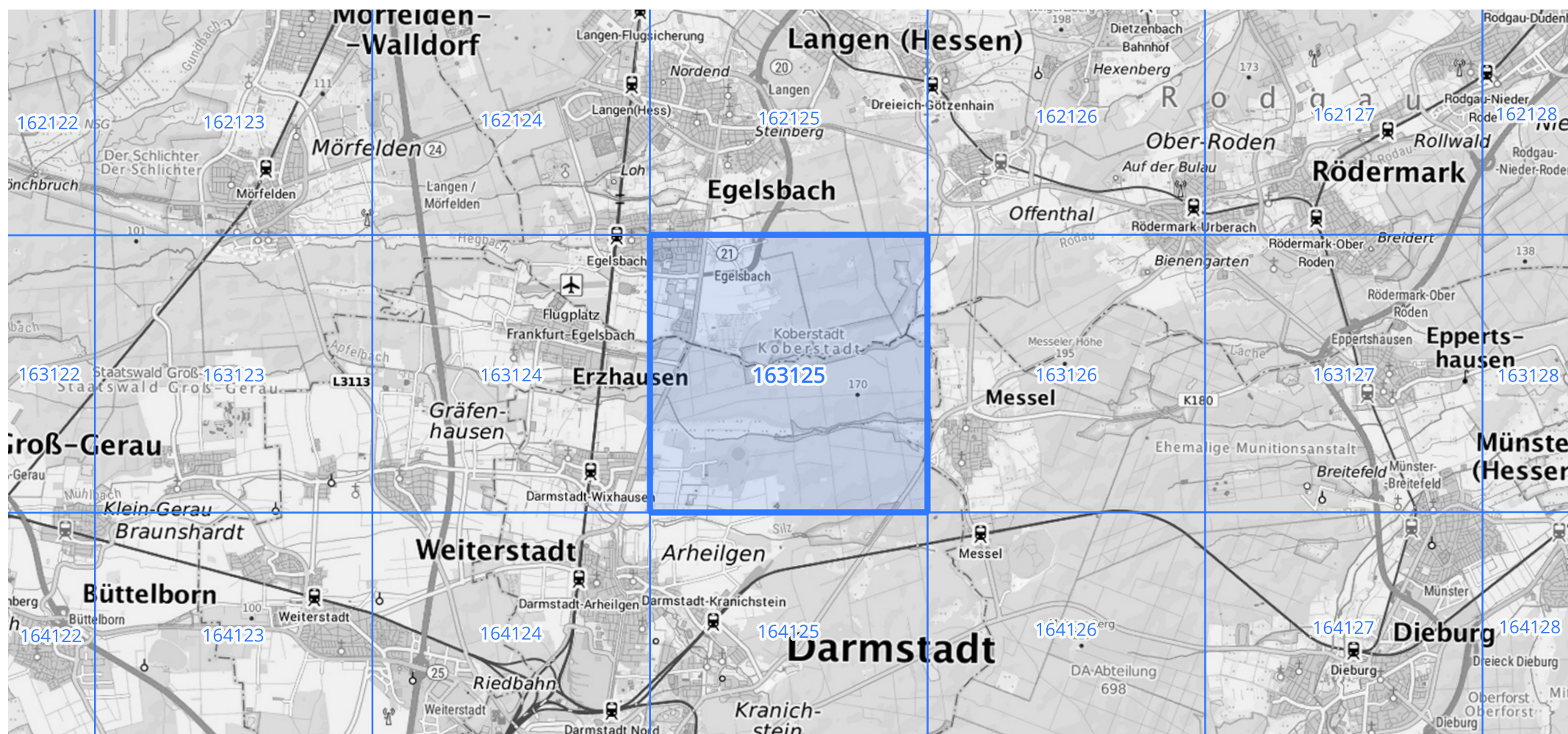
Siehe auch Anwendungshilfe zu KOSTRA-DWD-2020 des Deutschen Wetterdienstes.

## Starkniederschlagshöhen und -spenden gemäß KOSTRA-DWD-2020

## Rasterfeld 163125

(Zeile 163, Spalte 125)

Übersichtskarte des Rasterfeldes 163125, M 1 : 100 000



Quelle Rasterdaten: KOSTRA-DWD-2020 des Deutschen Wetterdienstes, Stand 12/2022.

Seite 3 von 3

Kartendarstellung: © Bundesamt für Kartographie und Geodäsie (2023), Datenquellen: [https://sgx.geodatenzentrum.de/web\\_public/gdz/datenquellen/Datenquellen\\_TopPlusOpen.html](https://sgx.geodatenzentrum.de/web_public/gdz/datenquellen/Datenquellen_TopPlusOpen.html)

Für die Richtigkeit und Aktualität der Angaben wird keine Gewähr übernommen. Erstellt 01/2023.